

## 斜面上における碎波の位置エネルギーと運動エネルギーの変化に関する実験

名古屋大学工学部 正員 岩田好一郎  
 東急建設株式会社 正員 布藤省三  
 日本テラポッド(株) 正員 小山裕文

## 1.はじめに :

碎波帶内での波の持つ位置エネルギーと運動エネルギーの変化を予測し、碎波帶内での波の逸散機構を解明することは海岸水理学の分野で課されて重要な課題の一つである。現在の所、碎波帶内での波の持つ位置エネルギーと運動エネルギーがどのように変化するのか、またどのようにして正確にその変化を予測したらいいか、など不明な点が多い。本論では、 $1/15$ の一様勾配斜面上の碎波を取り挙げて、水理模型実験を行なって、碎波後の波の位置エネルギーと運動エネルギーの変化を検討並びにその結果を報告することとする。

## 2. 水理実験 :

実験は名古屋大学工学部土木工学科教室の二次元片面ガラス張り鉛直水槽( $25m \times 0.9m \times 0.7m$ )を行なわれた。実験波は、表-1に示すように、三種類の波があり、Spilling Breaker, Plunging Breaker と Spilling と Plunging 中間型の Breaker の三種類の碎波型を生起させて、水粒子速度はキャンティレバー型流速計で計測された。計測地点は、図-1に示されるように、鉛直方向と波進行方向に亘る多点であり、Case 2-1, Case 2-2, Case 2-3 の波についておのおの  $171$  地点、 $185$  地点、 $174$  地点である。実験では、水位変動  $\eta(t)$  と水平方向の水粒子速度  $U(t)$  と鉛直方向の水粒子速度  $W(t)$  を約  $10$  周期に亘り計測した。

本論では、波の持つ位置エネルギー  $E_p$  と波の持つ運動エネルギー  $E_k$  をおのおの式(1)と(2)で計算するとしている。  

$$E_p = \frac{1}{T} \int_0^T \rho g \zeta \cdot dz \cdot dt \quad (1)$$
  

$$E_k = \frac{1}{T} \int_{-h}^h \frac{1}{2} \rho (U^2 + W^2) dz \cdot dt \quad (2)$$

ここで  $T$  は波の周期、 $\rho$  は流体の密度、 $g$  は重力加速度、 $h$  は静水深、 $\zeta$  は静水深より奥より鉛直上向き正とする鉛直軸、 $z$  は時間、 $dz$  は鉛直方向の積分幅である。実験の  $\eta(t)$ 、 $U(t)$  と  $W(t)$  を  $0.05$  秒間隔で離散化し  $5$  周期間の波形の平均値とし、式(1)と(2)より  $E_p$  と  $E_k$  を計算した。なお、鉛直方向の積分には台形公式を使つた。また、碎波水深、碎波波高、気泡連行領域などは、 $16mm$  高速シネカメラ( $50$ コマ/秒)の写真解析により決定した。

## 3. 実験結果とその検討 :

CASE	BEACH SLOPE	BREAKER TYPE	hb	hb	ho	HI	Lo	MEASURING POINTS
2 - 1	$1/15$	Spilling	19.6	31.0	63.0	19.2	192.6	171
2 - 2	$1/15$	Pl.-Sp.	19.3	25.0	63.0	17.3	237.7	185
2 - 3	$1/15$	Plunging	18.7	24.0	63.0	17.3	243.7	174

Note: hb and hb; wave height and water depth at breaking point, ho; constant water depth in front of wave board, HI; generated wave height, Lo; wave length in deep water

表-1 実験波の諸元と碎波点と碎波型式

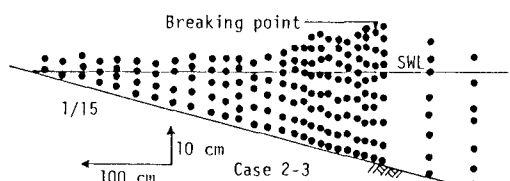
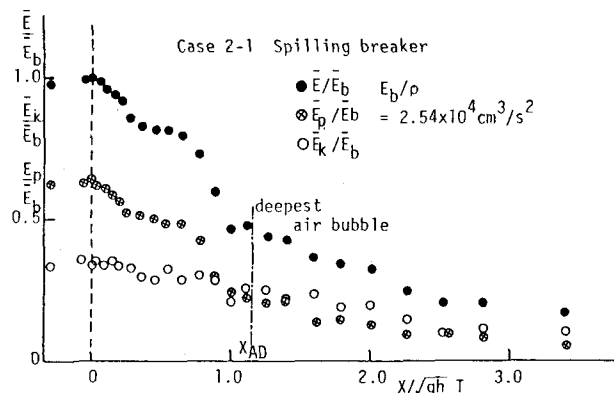


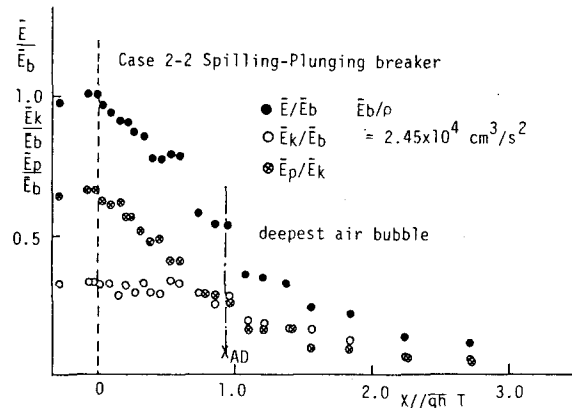
図-1 水粒子計測地点の一例

図-2は碎波時の全運動エネルギー( $\bar{E}_b$ )と無次元化された運動エネルギー( $\bar{E}_b/\bar{E}_b$ )と位置エネルギー( $\bar{E}_p/\bar{E}_b$ )の波の進行とともに変化を示したもので、×は碎波点からの距離、○は全運動エネルギーである。図-2によると、碎波後の全運動エネルギー $\bar{E}_b$ は波の進行に伴い減少していく、spilling breaker, 中崩型碎波, plunging breakerの順で減衰度合が大きくなり、波高低減から推測されることは傾向と一致する。無次元化された位置エネルギー $\bar{E}_p/\bar{E}_b$ と無次元化された運動エネルギー $\bar{E}_b/\bar{E}_b$ の碎波後は波の進行につれて低減するが、その低減度合は碎波型に関係なく $\bar{E}_p/\bar{E}_b$ の方が $\bar{E}_b/\bar{E}_b$ より大きい。本論文取り挙げたS(斜面勾配)=1/5の斜面では、碎波点から気泡が運動内部に混入する深さが最も深くなる地場(図中XAD)の間では、位置エネルギー $\bar{E}_p$ と運動エネルギー $\bar{E}_b$ より大きくなり、場合によつては1.6倍程度大きくなる。特に、碎波時につつては $S=1/5$ の緩斜面の実験結果(土屋ら<sup>2)</sup>)やStep型水平床の実験結果<sup>1)</sup>と逆の実験結果になつてゐる。気泡が最も深く運行される地場(XAD)から、運動エネルギー $\bar{E}_b$ は僅かではあるが位置エネルギー $\bar{E}_p$ より大きくなり、 $\bar{E}_p$ と $\bar{E}_b$ の大小関係が逆転する。以上の通り、 $S=1/5$ の斜面上の碎波につつては、碎波に伴う位置エネルギーの損失の方が運動エネルギーの損失より大きいことが指摘できる。今後、更に実験を継続して検討を加えていく所存である。

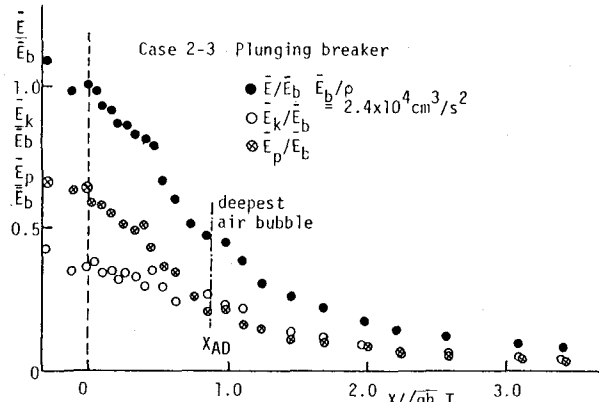
〔参考文献〕 1) 岩田・小山・布藤: 第30回海講論文集, 1983. 2) 土屋・筒井: 第29回海講論文集, 1982.



(a) Spilling Breakerの場合



(b) Spilling-plunging Breakerの場合



(c) Plunging Breakerの場合

図-2 碎波帶内における波の位置エネルギーと運動エネルギーの変化(1/5の斜面勾配)